

УДК 519.688

СЖАТИЕ ТОПОЛОГИЧЕСКИХ СВЯЗЕЙ ТРИАНГУЛЯЦИИ**А. В. Скворцов¹**

Рассматривается задача упаковки топологических связей треугольников в триангуляции. Приводятся несколько модификаций алгоритма шелушения треугольников, позволяющих достичь в среднем плотности упаковки порядка 2.12 бит на узел триангуляции.

Введение. Триангуляция является одной из базовых структур вычислительной геометрии и машинной графики [3]. Она широко используется в геоинформационных системах для моделирования рельефа, системах автоматизированного проектирования для представления различных поверхностей, в различных методах конечных элементов для разбиения объектов на элементарные треугольники.

В связи с продолжающимся быстрым ростом производительности вычислительной техники стремительно растут и объемы обрабатываемых данных, в том числе и размеры триангуляционных моделей. В настоящее время реальные триангуляционные модели рельефа земной поверхности содержат миллионы и миллиарды треугольников. Это порождает серьезные проблемы по хранению, передаче, визуализации и обработке столь огромных моделей данных.

Стандартные триангуляционные модели данных требуют примерно 8–16 байт на хранение координат узлов триангуляции и 28–72 байта на представление топологических отношений треугольников (отношений смежности узлов, ребер и треугольников) [4]. Видно, что наибольшую долю памяти (до 90 %) занимает топология триангуляции. При представлении триангуляции, содержащей миллионы узлов и треугольников, такие затраты памяти являются слишком расточительными. Одной из проблем, возникающих в связи с этим, является задача упаковки (сжатия) триангуляции для хранения во внешней памяти. При этом требуется получить два алгоритма, один из которых должен выдавать сжатое представление триангуляции для передачи во внешнюю память, а другой должен уметь генерировать исходную триангуляцию по ее сжатому представлению.

Проблема сжатия триангуляции распадается на две основные подзадачи:

— *сжатие узлов*: задача сжатия координат узлов триангуляции и других их числовых характеристик;

— *сжатие топологии (топологических связей)*: задача сжатия информации, описывающей треугольники как тройки узлов триангуляции, и информации о смежности пар соседних треугольников.

Эти две задачи имеют совершенно разную природу и поэтому решаются разными методами. Задача сжатия узлов обычно решается с помощью комбинации методов с потерей точности (методы квантизации) и точных методов (кодирование энтропии) [5–7].

Настоящая работа посвящена второй задаче — задаче сжатия топологии триангуляции.

Один из первых методов упаковки триангуляции заключался в разбиении триангуляции на некоторые *полосы* — последовательности смежных треугольников. Однако такой способ лучше всего подходит для визуализации, т.к. полная топология триангуляции при этом не сохраняется. Другой проблемой здесь является выбор минимального количества полос. В [7] показано, что эта задача является NP-полной.

Среди полноценных алгоритмов сжатия одним из наиболее простых и удобных в применении является *метод шелушения (shelling method)* [8]. Он позволяет добиться плотности упаковки топологии до 4.4 бит на узел триангуляции, т.е. сжимает данные примерно в 50–140 раз.

Отметим, что количество треугольников в триангуляции примерно в два раза больше числа узлов. Поэтому, выражаясь другими единицами измерения, достигаемая плотность упаковки составляет 2.2 бит на треугольник триангуляции. Мы будем использовать в качестве единицы измерения количество бит на узел.

В настоящей работе предлагается ряд новых алгоритмов, являющихся дальнейшим развитием метода шелушения, позволяющих достичь плотности упаковки порядка 2.12–4 бит на узел триангуляции.

В дальнейшем в тексте статьи будут приводиться полученные автором в экспериментах конкретные величины плотности упаковки и другие экспериментальные величины. Все приводимые величины

¹ Томский государственный университет, факультет информатики, пр. Ленина, д. 36, 634050, г. Томск; e-mail: skv@csd.tsu.ru

получены автором на триангуляциях Делоне, содержащих 100 000 узлов, распределенных равномерно в круге.

Кроме того, автором было проведено моделирование работы описываемых алгоритмов на других распределениях и различных реальных данных. Наиболее существенные отклонения плотности упаковки (до 10 %) были отмечены на триангуляциях, не являющихся триангуляциями Делоне. В дальнейшем, чтобы не загромождать текст, такие статистические данные приводить не будем.

1. Метод шелушения. Во время работы алгоритмов шелушения [8] для сжатия и распаковки триангуляции поддерживается некоторый *граничный многоугольник*, охватывающий область обработанных треугольников. Кроме того, имеется очередь *активных ребер* триангуляции, т.е. ребер, входящих в состав граничного многоугольника, но еще не обработанных. При сохранении триангуляции в выходной поток записывается с помощью двух бит один из управляющих кодов: **VERTEX**, **SKIP**, **LEFT** или **RIGHT**. После кода **VERTEX** всегда идут координаты некоторой вершины. Рассмотрим соответствующие алгоритмы этого метода.

Алгоритм упаковки триангуляции методом шелушения.

Шаг 1. Выбирается любой треугольник в триангуляции. В выходной поток посылаются координаты трех образующих узлов этого треугольника. Три его ребра образуют начальный граничный многоугольник и входят в состав очереди активных ребер (рис. 1 (а)).

Шаг 2. Пока очередь активных ребер не пуста, извлекаем из ее начала ребро r и пытаемся увеличить граничный многоугольник за счет треугольника t , смежного с r с внешней стороны от текущей границы.

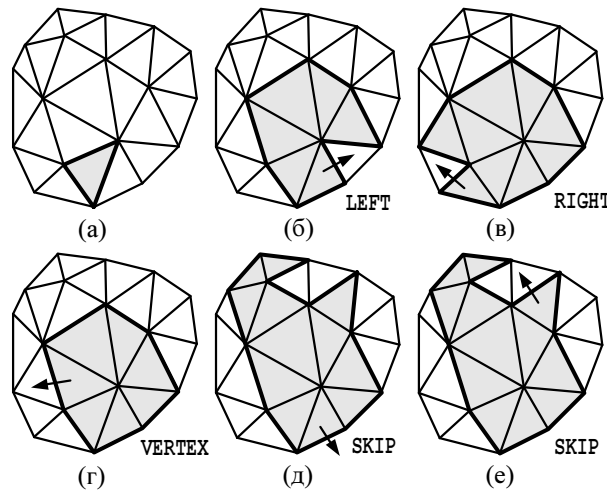


Рис. 1. Упаковка триангуляции методом шелушения: (а) — выбор начального треугольника, (б) — треугольник, замыкаемый налево, (в) — треугольник, замыкаемый направо, (г) — треугольник с новым узлом, (д) — треугольник не существует, (е) — треугольник замыкается некорректно

Шаг 2.1. Если узел n в t напротив ребра r не лежит на граничном многоугольнике, то посылаем в поток код **VERTEX** и координаты узла n , увеличиваем границу и очередь активных ребер (рис. 1 (г)).

Шаг 2.2. Если узел n в t является следующим вдоль границы слева от ребра r , то посылаем код **LEFT** и увеличиваем границу и очередь активных ребер (рис. 1 (б)).

Шаг 2.3. Если узел n в t является следующим вдоль границы справа от ребра r , то посылаем код **RIGHT** и увеличиваем границу и очередь активных ребер (рис. 1 (в)).

Шаг 2.4. Если треугольника t не существует (рис. 1 (д)) или узел n в t не является смежным вдоль границы к ребру r (рис. 1 (е)), то посылаем в поток код **SKIP**. *Конец алгоритма.*

Аналогично построен и алгоритм распаковки.

Алгоритм распаковки триангуляции.

Шаг 1. Из входного потока считываются координаты трех узлов и на них строится треугольник, ребра которого образуют начальный граничный многоугольник и входят в состав очереди активных ребер.

Шаг 2. Пока очередь активных ребер не пуста, извлекаем из ее начала ребро r и пытаемся увеличить граничный многоугольник от ребра r в соответствии со считываемым из потока управляющим кодом.

Шаг 2.1. Для кода **VERTEX**: создаем новый узел n и считываем его координаты из потока. На ребре r и узле n создаем новый треугольник, увеличиваем границу и очередь активных ребер.

Шаг 2.2. Для кода **LEFT**: создаем новый треугольник на ребре r и узле, следующим вдоль границы слева от ребра r . Увеличиваем границу и очередь активных ребер.

Шаг 2.3. Для кода **RIGHT**: создаем новый треугольник на ребре r и узле, следующим вдоль границы справа от ребра r . Увеличиваем границу и очередь активных ребер.

Шаг 2.4. Для кода **SKIP**: ничего не делаем. *Конец алгоритма.*

Трудоёмкости обоих алгоритмов упаковки и распаковки являются линейными относительно размера триангуляции.

2. Анализ алгоритма шелушения. Отметим, что в методе шелушения информация о топологии и координаты узлов триангуляции сохраняются в одном потоке данных вперемешку. Такой поток данных в дальнейшем практически не сжимается никакими универсальными алгоритмами сжатия (например, алгоритм LZ77 [9], широко используемый в семействах архиваторов Zip и Zlib, на отдельных потоках данных достигает сжатия не более 1%). Если же координаты узлов сохранять отдельно в новый второй поток, то можно достичь гораздо лучших результатов, т.к. оба полученных потока данных можно сжать затем независимо. Первый поток с кодами топологии алгоритм LZ77 сжимает уже примерно на 25–30%, достигая плотности упаковки порядка трех бит на узел триангуляции.

В дальнейшем в статье мы будем предполагать, что данные упаковываются в два разных потока, соответствующих топологии триангуляции и координатам объектов. Нашей целью будем разработка новых алгоритмов упаковки первого из этих потоков.

Автором была выполнена реализация алгоритма упаковки методом шелушения с последующим тестированием на различных наборах данных. Было измерено количество кодов различного типа, выдаваемых алгоритмом шелушения. В табл. 1 приведена статистика появления кодов различного типа в алгоритме шелушения. Заметим, что код **LEFT** появляется немного чаще, чем код **RIGHT**. Это связано с порядком помещения в очередь активных ребер трех начальных ребер вокруг первого треугольника.

Одним из удобных и широко применяемых универсальных методов сжатия является кодирование Хаффмана [1]. Он обычно применяется для сжатия последовательностей символов. В нашем случае мы имеем четыре разных символа: **VERTEX**, **RIGHT**, **LEFT** и **SKIP**. В нижней строке в табл. 1 после наклонной черты приведены соответствующие им коды Хаффмана. Полученные коды Хаффмана позволяют сжать генерируемую алгоритмом шелушения последовательность при указанной статистике на 6.15% — примерно до 4.14 бит на узел триангуляции. Отметим однако, что после сжатия Хаффмана алгоритм LZ77 уже не дает никакого эффекта.

Таблица 1
Статистика появления разных кодов в алгоритме шелушения
и соответствующие им коды Хаффмана

Статистика и код Хаффмана для				Сжатие Хаффмана
VERTEX	RIGHT	LEFT	SKIP	
45.1% / 1	22.1% / 01	22.7% / 001	10.1% / 000	6.15%

Одним из направлений дальнейшего улучшения алгоритма шелушения может быть изменение внутренних параметров алгоритма для достижения другого соотношения статистики появления различных кодов, а следовательно, и изменения эффективности кода Хаффмана.

Заметим, что довольно большую часть генерируемых кодов составляет код **SKIP**, по сути работающий вхолостую. Снижение частоты его использования позволяет надеяться на дополнительное сжатие в пределах 10%.

Одной из причин большого количества кодов **SKIP** является неравномерное “шелушение” треугольников. Текущая граница триангуляции в некоторых местах растет быстрее, чем в других. При этом возникают неравномерные выросты из текущей границы с большим количеством треугольников между ними. Дальнейший рост границы с этих выростов становится невозможным, что и приводит к появлению кодов **SKIP** при обработке ребер триангуляции между выростами.

В работе [8] эта проблема была отмечена косвенно. Так, ее авторы отмечают, что ими были опробованы две структуры для списка активных ребер: стек и очередь. При использовании стека выросты становятся просто огромными, и поэтому количество кодов **SKIP** увеличивается очень сильно. В связи с этим в [8] была выбрана структура списка активных ребер в виде очереди.

Ниже предлагается другой вариант выбора текущего ребра, позволяющий значительно снизить количество кодов SKIP и тем самым дополнительно улучшить сжатие.

3. Шелушение с активным выбором ребра.

3.1. Шелушение с минимальной суммой внешних углов. В предлагаемом алгоритме шелушения с минимальной суммой углов необходимо из списка активных ребер выбрать такую сторону AB текущего граничного многоугольника, у которой сумма двух внешних углов $\angle A + \angle B$ является минимальной среди всех активных ребер (рис. 2).

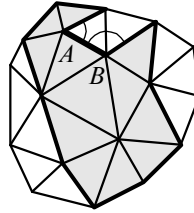


Рис. 2. Выбор активного ребра с минимальной суммой внешних углов

Данный алгоритм в первую очередь выбирает ребра в тех местах границы, где имеются глубокие вогнутости. В результате шелушение становится гораздо более равномерным, а количество кодов SKIP снижается примерно до 0.3% от общего числа генерируемых кодов.

В табл. 2 представлена статистика появления различных кодов, а также представлены соответствующие им коды Хаффмана. Использование кодирования Хаффмана при указанной статистике кодов позволяет достичь 12.6% сжатия, т.е. около 3.49 бит на узел триангуляции.

Таблица 2

Статистика появления разных кодов в алгоритме шелушения с минимальной суммой углов и соответствующие им коды Хаффмана

Статистика и код Хаффмана для				Сжатие Хаффмана
VERTEX	RIGHT	LEFT	SKIP	
50% / 1	24.4% / 001	25.3% / 01	0.3% / 000	12.6%

Если вместо кодирования Хаффмана использовать алгоритм LZ77, то достигается еще лучшее сжатие — порядка 25%, т.е. около 3.06 бит на узел триангуляции.

Для реализации процедуры выбора очередного обрабатываемого ребра будем хранить все активные ребра в сортирующем дереве [2]. Тогда при помещении ребра в список активных ребер нам потребуется время $O(\log N)$. Кроме того, при изменении текущей границы необходимо пересчитывать сумму внешних углов двух смежных ребер вокруг изменяемой части границы. Это может привести к перемещению ребер в сортирующем дереве с затратами времени также $O(\log N)$.

Таким образом, суммарная трудоемкость алгоритма шелушения с минимальной суммой углов составляет $O(N \log N)$. При этом заметим, что логарифмическая составляющая этой трудоемкости на практике весьма мала и не сильно увеличивает скорость работы алгоритма по сравнению с исходным.

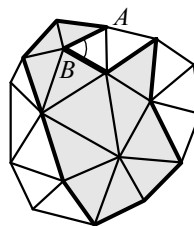


Рис. 3. Выбор активного ребра с минимальным правым внешним углом

3.2. Шелушение с минимальным правым внешним углом. В предлагаемом алгоритме шелушения с минимальным правым внешним углом необходимо из списка активных ребер выбрать такую

сторону AB текущего граничного многоугольника, у которой внешний $\angle B$ является минимальным среди всех активных ребер (рис. 3).

Данный алгоритм выдает примерно в четыре раза больше кодов **SKIP**, чем предыдущий алгоритм, — примерно 1.2% от общего числа генерируемых кодов. Но статистика появления различных кодов совершенно иная, в частности, код **LEFT** практически не генерируется (табл. 3). Поэтому здесь получается другой код Хаффмана, позволяющий добиться сжатия при указанной статистике примерно 3.08 бит на узел.

Таблица 3
Статистика появления разных кодов в алгоритме шелушения с минимальным правым углом и соответствующие им коды Хаффмана

Статистика и код Хаффмана для				Сжатие Хаффмана
VERTEX	RIGHT	LEFT	SKIP	
49.6% / 1	48.5% / 01	0.7% / 000	1.2% / 001	23.85%

В случае же использования алгоритма LZ77 вместо кодирования Хаффмана достигается еще большее сжатие порядка — 44%, т.е. около 2.27 бит на узел.

3.3. Шелушение с 4-ситуационным кодированием Хаффмана. Посмотрим, какие конфигурации ребер могут быть на границе вокруг очередного активного ребра AB . В зависимости от того, превышают ли внешние $\angle A$ и $\angle B$ текущего граничного многоугольника угол π , возможны четыре ситуации, приведенные на рис. 4. Темным цветом показаны треугольники, находящиеся внутри текущего граничного многоугольника.

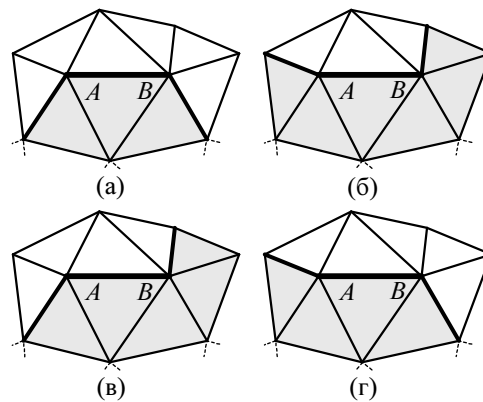


Рис. 4. Различные четыре ситуации на границе около активного ребра

Заметим, в некоторых из указанных конфигураций появление отдельных кодов невозможно вообще никогда. Например, в ситуации на рис. 4 (а) коды **LEFT** и **RIGHT** невозможны, т.к. иначе будет построен вывернутый треугольник.

Идея предлагаемого алгоритма шелушения с 4-ситуационным кодированием Хаффмана заключается в том, чтобы сгенерировать различные коды Хаффмана для разных ситуаций на активном ребре.

В табл. 4 приведены условия образования и статистика появления различных ситуаций при выборе активного ребра по минимуму суммы внешних углов.

В табл. 5 приведена статистика генерации различных кодов в разных ситуациях.

Таким образом, в результате применения различного кодирования Хаффмана отдельно для четырех ситуаций по сравнению с исходным алгоритмом шелушения с минимальной суммой внешних углов достигается сжатие порядка 31.1%, т.е. около 2.76 бит на узел триангуляции.

Аналогично алгоритму шелушения с минимальной суммой внешних углов можно также использовать алгоритм с выбором минимального правого угла, однако в этом случае ситуация на рис. 4 (в) становится доминирующей, и поэтому большой выгоды от деления на ситуации мы не получаем.

Теперь обратим внимание на то, что код **SKIP** появляется, как правило, в ситуации, изображенной на рис. 4 (а). Во всех остальных случаях он появляется очень редко. В проведенных автором экспериментах в

Таблица 4
Условия образования и статистика появления четырех ситуаций на границе в алгоритме шелушения с минимальной суммой углов

Ситуация как на	Условие на $\angle A$	Условие на $\angle B$	Статистика появления
рис. 4 (а)	$\angle A \geq \pi$	$\angle B \geq \pi$	0.4 %
рис. 4 (б)	$\angle A < \pi$	$\angle B < \pi$	27.8 %
рис. 4 (в)	$\angle A \geq \pi$	$\angle B < \pi$	35.3 %
рис. 4 (г)	$\angle A < \pi$	$\angle B \geq \pi$	36.5 %

Таблица 5
Статистика генерации разных кодов в алгоритме шелушения с минимальной суммой углов в различных ситуациях, соответствующие им коды и уровень сжатия Хаффмана

Ситуация как на	Статистика и код Хаффмана для				Сжатие Хаффмана
	VERTEX	RIGHT	LEFT	SKIP	
рис. 4 (а)	7.9 % / 0	—	—	92.1 % / 0	50 %
рис. 4 (б)	77.6 % / 1	11.4 % / 01	11 % / 001	0 % / 000	33.5 %
рис. 4 (в)	40 % / 01	60 % / 1	—	0 % / 00	30 %
рис. 4 (г)	39.1 % / 01	—	60.1 % / 1	0 % / 00	30 %

ситуациях, представленных на рис. 4 (б)–(г), код **SKIP** появлялся с частотой не более пяти случаев на 10 000 узлов триангуляции. В связи с этим представляется разумным в этих ситуациях коды **SKIP** сохранять в новом отдельном потоке данных, просто указав отдельно порядковые номера возникновения кода **SKIP** внутри последовательности основного потока кодирования топологии. Тогда в основном потоке не нужно их сохранять, а поэтому можно и перестроить код Хаффмана.

В табл. 6 приведены модифицированные коды Хаффмана и новые уровни сжатия. Таким образом, в результате применения 4-ситуационного кодирования Хаффмана и индивидуального кодирования кодов **SKIP** по сравнению с исходным алгоритмом шелушения с минимальной суммой внешних углов достигается сжатие порядка 46.9 %, т.е. около 2.12 бит на узел триангуляции (в том числе с учетом затрат на хранение номеров кодов **SKIP** в отдельном потоке).

Таблица 6
Статистика появления разных кодов в алгоритме шелушения с минимальной суммой углов в различных ситуациях и соответствующие им коды и уровень сжатия Хаффмана при кодировании кодов **SKIP** в отдельном потоке

Ситуация как на	Статистика и код Хаффмана для				Сжатие Хаффмана
	VERTEX	RIGHT	LEFT	SKIP	
рис. 4 (а)	7.9 % / 0	—	—	92.1 % / 1	50 %
рис. 4 (б)	77.6 % / 1	11.4 % / 01	11 % / 00	—	38.8 %
рис. 4 (в)	40 % / 0	60 % / 1	—	—	50 %
рис. 4 (г)	39.1 % / 0	—	60.1 % / 1	—	50 %

3.4. Шелушение с 6-ситуационным кодированием Хаффмана. Аналогично можно рассмотреть другие варианты ситуаций. Например, на рис. 5 представлены шесть ситуаций. Первые две из них (рис. 5 (а)–(б)) аналогичны ситуациям на рис. 4 (а)–(б). Ситуации на рис. 4 (в)–(г) мы разделяем на два подслучая, в зависимости от того, меньше ли внешний угол, чем $\pi/2$, или больше; тем самым, получаем четыре новые ситуации (рис. 5 (в)–(е)).

В предлагаемом алгоритме шелушения с 6-ситуационным кодированием Хаффмана используются приведенные шесть ситуаций для генерации различных кодов Хаффмана на активном ребре.

В табл. 7 приведены условия образования и статистика появления различных ситуаций при выборе активного ребра по минимуму суммы внешних углов.

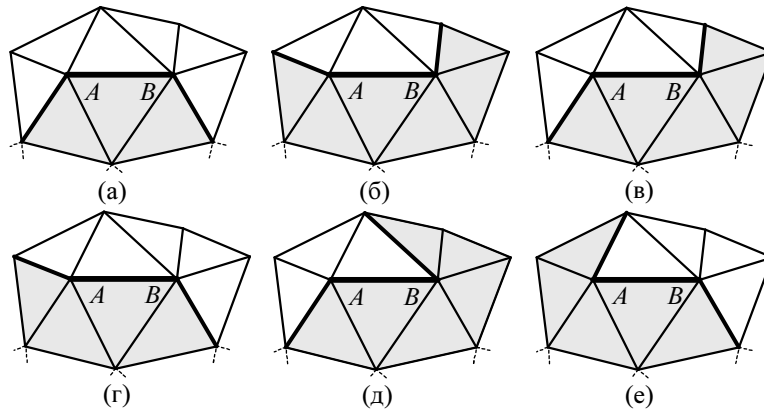


Рис. 5. Различные шесть ситуаций на границе около активного ребра

Таблица 7

Условия образования и статистика появления шести ситуаций на границе в алгоритме шелушения с минимальной суммой углов

Ситуация как на	Условие на $\angle A$	Условие на $\angle B$	Статистика появления
рис. 5 (а)	$\angle A \geq \pi$	$\angle B \geq \pi$	0.4 %
рис. 5 (б)	$\angle A < \pi$	$\angle B < \pi$	27.8 %
рис. 5 (в)	$\angle A \geq \pi$	$\angle B \in [\pi/2, \pi)$	11.2 %
рис. 5 (г)	$\angle A \in [\pi/2, \pi)$	$\angle B \geq \pi$	11.3 %
рис. 5 (д)	$\angle A \geq \pi$	$\angle B < \pi/2$	24.1 %
рис. 5 (е)	$\angle A < \pi/2$	$\angle B \geq \pi$	25.2 %

В табл. 8 приведена статистика появления различных кодов в разных ситуациях рис. 5, а также соответствующие коды Хаффмана. Таким образом, в результате применения кодирования Хаффмана отдельно для шести ситуаций по сравнению с исходным алгоритмом шелушения с минимальной суммой внешних углов достигается сжатие порядка 37.9 %, т.е. около 2.54 бит на узел триангуляции.

Таблица 8

Статистика появления разных кодов в алгоритме шелушения с минимальной суммой углов в различных ситуациях, соответствующие им коды и уровень сжатия Хаффмана

Ситуация как на	Статистика и код Хаффмана для				Сжатие Хаффмана
	VERTEX	RIGHT	LEFT	SKIP	
рис. 5 (а)	7.9 % / 0	—	—	92.1 % / 1	50 %
рис. 5 (б)	77.6 % / 1	11.4 % / 01	11 % / 001	0 % / 000	33.5 %
рис. 5 (в)	74.4 % / 1	25.6 % / 01	—	0 % / 00	37.2 %
рис. 5 (г)	73.2 % / 1	—	26.8 % / 01	0 % / 00	36.6 %
рис. 5 (д)	24.1 % / 01	75.9 % / 1	—	0 % / 00	37.5 %
рис. 5 (е)	23.9 % / 01	—	76.1 % / 1	0 % / 00	38.1 %

Так же как и в 4-ситуационном кодировании, обратим внимание на то, что код SKIP появляется, как правило, в ситуации, изображенной на рис. 5 (а). Во всех остальных случаях он появляется очень редко (не более пяти случаев на 10 000 узлов триангуляции). В связи с этим сохраним коды SKIP в новом отдельном потоке, указав отдельно порядковые номера возникновения кода SKIP внутри последовательности основного потока кодирования топологии.

В табл. 9 приведены модифицированные коды Хаффмана и новые уровни сжатия. Отметим, что почти все ситуации требуют для своего кодирования только один бит, кроме ситуации, изображенной

на рис. 5 (б). Та же самая картина наблюдалась и в 4-ситуационном кодировании, когда для кодирования нужен только один бит, кроме ситуации, представленной на рис. 4 (б). Однако ситуации на рис. 5 (б) и на рис. 4 (б) одинаковы; поэтому вероятности их появления одинаковы, а следовательно, и уровень сжатия будет таким же. Поэтому в результате применения 6-ситуационного кодирования Хаффмана и индивидуального кодирования кодов SKIP по сравнению с исходным алгоритмом шелушения с минимальной суммой внешних углов достигается сжатие порядка 46.9%, т.е. около 2.12 бит на узел триангуляции (в том числе с учетом затрат на хранение номеров кодов SKIP в отдельном потоке).

Таблица 9

Статистика появления разных кодов в алгоритме шелушения с минимальной суммой углов в различных ситуациях, соответствующие им коды Хаффмана при кодировании кодов SKIP в отдельном потоке и достигаемый уровень сжатия Хаффмана

Ситуация как на	Статистика и код Хаффмана для				Сжатие Хаффмана
	VERTEX	RIGHT	LEFT	SKIP	
рис. 5 (а)	7.9% / 0	—	—	92.1% / 1	50%
рис. 5 (б)	77.6% / 1	11.4% / 01	11% / 00	—	38.8%
рис. 5 (в)	74.4% / 1	25.6% / 0	—	—	50%
рис. 5 (г)	73.2% / 1	—	26.8% / 0	—	50%
рис. 5 (д)	24.1% / 0	75.9% / 1	—	—	50%
рис. 5 (е)	23.9% / 0	—	76.1% / 1	—	50%

4. Заключение. В табл. 10 приведены плотности сжатия и трудоемкости работы всех рассмотренных в настоящей статье алгоритмов. В целом следует выделить алгоритм шелушения с минимальным суммой внешних углов с ситуационным кодированием Хаффмана и отдельным сжатием кодов SKIP.

Таблица 10

Статистика появления разных кодов в алгоритме шелушения с минимальной суммой углов в различных ситуациях и соответствующие им коды Хаффмана

Название алгоритма	Плотность сжатия, бит на узел триангуляции	Трудоемкость сжатия
Шелушение [8]	4.41	$O(N)$
Шелушение + упаковка LZ77	3.57	$O(N)$
Шелушение + кодирование Хаффмана	4.14	$O(N)$
Шелушение с минимальной суммой углов	4.00	$O(N \log N)$
Шелушение с минимальной суммой углов + упаковка LZ77	3.06	$O(N \log N)$
Шелушение с минимальной суммой углов кодирование Хаффмана	3.49	$O(N \log N)$
Шелушение с минимальной суммой углов + 4-ситуационный код Хаффмана	2.76	$O(N \log N)$
Шелушение с минимальной суммой углов + 4-ситуационный код Хаффмана + отдельное сжатие SKIP для ситуаций на рис. 4 (б)–(г)	2.12	$O(N \log N)$
Шелушение с минимальной суммой углов + 6-ситуационный код Хаффмана	2.54	$O(N \log N)$
Шелушение с минимальной суммой углов + 6-ситуационный код Хаффмана + отдельное сжатие SKIP для ситуаций на рис. 5 (б)–(е)	2.12	$O(N \log N)$
Шелушение с минимальным правым углом	4.04	$O(N \log N)$
Шелушение с минимальным правым углом + упаковка LZ77	2.27	$O(N \log N)$
Шелушение с минимальным правым углом + кодирование Хаффмана	3.08	$O(N \log N)$

В настоящей работе предложены новые подходы к упаковке топологии триангуляции. По сравнению с другими ранее известными алгоритмами, предложенные алгоритмы шелушения с активным выбором очередного обрабатываемого ребра позволяют достигнуть более чем в два раза большей степени сжатия. Полученные алгоритмы имеют трудоемкость работы $O(N \log N)$, реально показывая на практике высокую скорость выполнения.

Однако предложенный подход обладает и некоторым недостатком. Так, совместно с предложенными алгоритмами теперь нельзя использовать распространенные алгоритмы сжатия координат узлов триангуляции с потерями, т.к. для правильной работы алгоритма распаковки необходимо иметь в точности те же координаты, что и при упаковке. Незначительные изменения координат при упаковке потенциально могут привести к другому порядку выбора активных ребер во время распаковки и, как следствие, к разрушению триангуляции. Поэтому для сжатия координат необходимо разработать новые методы, учитывающие специфику представленных в работе алгоритмов.

СПИСОК ЛИТЕРАТУРЫ

1. Кнут Д. Искусство программирования для ЭВМ. Т. 2. Получисленные алгоритмы. М.: Мир, 1977.
2. Кнут Д. Искусство программирования для ЭВМ. Т. 3. Сортировка и поиск. М.: Мир, 1978.
3. Препарата Ф., Шеймос М. Вычислительная геометрия: Введение. М.: Мир, 1989.
4. Скворцов А.В. Обзор алгоритмов построения триангуляции Делоне // Вычислительные методы и программирование. 2002. **3**. 14–39 (<http://num-meth.srcc.msu.su>).
5. Chow M.M. Optimized geometry compression for real-time rendering // IEEE Visualization Proceedings. Phoenix. 1997. 347–354.
6. Deering M. Geometry compression // Computer Graphics. Proceedings of ACM SIGGRAPH. Los Angeles. 1995. 13–20.
7. Evans F., Skiena S., Varshney A. Optimizing triangle strips for fast rendering // IEEE Visualization Proceedings. San Francisco. 1996. 319–326.
8. De Floriani L., Magillo P., Puppo E. Compressing triangulated irregular networks // Geoinformatica. 2000. **1**, N 4. 67–88.
9. Ziv J., Lempel A. A universal algorithm for sequential data compression // IEEE Transactions on Information Theory. 1977. **23**, N 3. 337–343.

Поступила в редакцию
30.03.2002
